DOI:10.3724/SP. J. 1008.2008.01081

•论 著•

# 不同生理阶段乳腺乳汁淤积囊肿的声像图特点

陈宁宁1,姚 炜1,赵玉华1\*,江 泉2

- 1. 第二军医大学长海医院超声科,上海 200433
- 2. 上海浦东新区人民医院超声科,上海 201200

[摘要] 目的:观察不同生理阶段乳腺乳汁淤积囊肿的超声声像图特点,提高乳汁淤积囊肿的超声诊断水平。方法:回顾性分析 56 例乳汁淤积囊肿患者的超声声像图资料,总结其声像图特征,比较乳腺不同生理阶段乳汁淤积囊肿的声像图表现。结果:哺乳期导管扩张较广泛,单纯乳汁潴留时扩大的导管内有浮动微细亮点,大片液性暗区有纤维间隔呈多房状;继发感染时脓腔可破溃,脓汁溢出。哺乳期后扩张乳管呈液性无回声或低回声,与滞留乳汁点、斑片状强回声形成混合性潴留囊肿。绝经后乳管变小,多年淤乳成干结或粉末,导管或实质内呈粗颗粒状或多条强回声带。结论:乳腺乳汁淤积声像图随乳腺生理阶段变化,与积乳时间、吸收、浓缩、干燥有关。

[关键词] 乳汁淤积囊肿;超声检查;生理过程;病理学

[中图分类号] R 445.1 [文献标志码] A [文章编号] 0258-879X(2008)09-1081-05

#### Ultrasound characteristics of galactostasis at various physiological stages

CHEN Ning-ning1, YAO Wei1, ZHAO Yu-hua1\*, JIANG Quan2

- 1. Department of Ultrasonics, Changhai Hospital, Second Military Medical University, Shanghai 200433, China
- 2. Department of Ultrasonics, the People's Hospital of Pudong New Area, Shanghai 201200

[ABSTRACT] Objective: To observe the ultrasound characteristics of galactostasis at various physiological stages, so as to improve the diagnosis of galactostasis. Methods: The ultrasound data of 56 patients with galactostasis were retrospectively analyzed and the ultrasound characteristics were summarized. The ultrasonic manifestations of different physiological stages were compared. Results: During the lactation period, there were extensive mammary duct ectasias and floating weak signals were found in the mammary duct during pure galactostasis; large non-responsive fluid areas exhibited formations of honeycomb-like multilocular fibrous septa; and these cavities ruptured with abscess when secondary infection occurred. During the later lactation period, the dilated galactophores became hypoechoic or anechoic, which, together with the dot-like echoes of residual breast milk or macular strong echoes, formed mixed signals of retention cysts. After menopause, the galactophores atrophy occurred; the accumulation of galactostasis desiccated into patches or powder, which caused thick hyperechoic dots or multiple hyperechoic streaks in the galactophores or parenchyma. Conclusion: Ultrasonic images of galactostasis vary with the physiological and pathological changes of the mammary glands, and are related to the duration of galactostasis, absorption, concentration and desiccation of lactation.

[KEY WORDS] galactostasis; ultrasonography; physiological processes; pathology

[Acad J Sec Mil Med Univ, 2008, 29(9):1081-1085]

乳汁淤积是初产妇哺乳困难中的常见类型,也是发生急性乳腺炎的主要原因[1-2]。其发生与多种因素有关,包括:原发性乳腺结构不良、畸形,乳腺手术致正常乳腺结构紊乱,哺乳习惯不良,乳腺炎症致乳管狭窄或堵塞,乳房寄生虫病等[2]。上述各种原因导致乳汁排出障碍,导致乳腺导管扩张,导管在乳汁的持续压力下破裂,溢出的乳汁被周围组织包裹,

最终形成积乳囊肿<sup>[1-2]</sup>。临床表现为乳腺肿块,继发感染后病情恶化可致乳腺脓肿<sup>[3]</sup>。发生于女性哺乳期积乳囊肿的相关研究较多,易于诊断<sup>[4-7]</sup>;但发生于哺乳期后或绝经后乳汁淤积囊肿的相关研究较少,易误诊为纤维腺瘤或癌肿<sup>[8-9]</sup>。

本研究通过回顾分析 56 例乳汁淤积囊肿患者 的超声影像图资料,总结乳腺不同生理阶段乳汁淤

[收稿日期] 2008-03-28 [接受日期] 2008-05-31

[作者简介] 陈宁宁,副教授、副主任医师. E-mail.chenningning00@126.com

<sup>\*</sup>通讯作者(Corresponding author). Tel:021-25072136, E-mil:zhaoyuhua@163.com

积囊肿的超声声像图特点,以提高乳汁淤积囊肿的超声诊断水平。

#### 1 资料和方法

1.1 一般资料 2003年12月23日至2006年1月10日,超声检查患有乳腺病变女性56例,均有分娩、哺乳史,多数有小叶增生、乳头凹陷、排乳受阻、授乳无定时、断奶方式不当的病史;5例有乳腺炎或纤维腺瘤手术史。体检或自行发现乳腺高低不平,无痛或轻痛肿块。10例经手术或引流治疗,经钼钯检查9例,超声复查及对症治疗37例,诊断为乳腺导管扩张与乳汁淤积症。56例患者按乳腺生理阶段分3组:哺乳期,12例,年龄(25.6±4.0)岁,分娩3d至18个月;哺乳期后,23例,年龄(37.1±4.0)岁,断奶半年至50岁间,月经正常;绝经期后,21例,年龄(54.3±7.7)岁,月经终止2~3年或绝经10年以上。

1.2 主要仪器及检测方法 仪器型号 Acuson Sequoia 512,探头频率 7.5~13.0 MHz。检查双侧乳房、腋窝,以乳头为中心 1~12 点放射状连续转动探头,显示乳管长、短轴切面。以时钟标记病变在乳腺的位置。依据乳腺各生理阶段组织结构及乳汁淤积病理,分析声像图特点。

## 2 结 果

2.1 乳汁淤积囊肿的分布及常见超声图 单双侧乳腺发病率:左右乳均有病变 41 例,占 73.2%;单侧病变 15 例,占 26.8%;仅右乳 9 例,左乳 6 例。单侧乳腺多发性  $2\sim5$  个病灶 12 例,占 80%。病灶好发部位:以时钟  $1\sim12$  点标记病变位置,右乳病变 50 例(单侧 9 例,双侧 41 例),病灶位于  $8\sim11$  点 33 例占 66%,位于  $2\sim4$  点 11 例占 22%, $12\sim1$  点及其他部位 6 例占 12%。左乳病变 47 例(单 6 例,双侧 41 例)病灶位于  $2\sim4$  点 22 例占 46.8%, $12\sim1$  点 13 例占 27.7%; $8\sim11$  点及其他部位 12 例占25.5%。

乳管扩大的程度:乳管扩大,内径及长短不等,以扩张内径的大小分成 4 度。轻度扩大 37 例,内径  $3.0\sim7.0~\text{mm}$ ;平均 $(6.55\pm1.62)~\text{mm}$ ;中度扩大 10 例,内径 8.0~c15~mm,平均 $(11\pm2.6)~\text{mm}$ ;重度扩大 5 例,内径  $16\sim20~\text{mm}$ ,平均 $(19.0\pm0.1)~\text{mm}$ ;内径扩大 20~mm 以上为显著扩张,扩张的导管形态多样,4 例分别为  $55~\text{mm}\times70~\text{mm}$ 、 $60~\text{mm}\times60~\text{mm}$ 、 $97~\text{mm}\times85~\text{mm}$  及  $118~\text{mm}\times120~\text{mm}$ 。

2.2 乳腺不同生理阶段乳汁淤积超声图像

2.2.1 哺乳期 (1)单纯性乳管扩张积乳:导管显著扩大,周围多个小导管扩张,管内有大量微小点状、颗粒状回声缓慢移动;轻轻挤压排除一定量乳汁后大囊腔明显缩小;显微镜检查乳汁内有大小不等的脂肪球(图 1)。(2)多房性乳汁淤积囊肿:扩张导管粗大内径(7.0±3.8) mm,最大囊肿显示为 118 mm×120 mm 的低回声或液性区,区内残留管壁与血管、杂乱纤维条索似间隔形成多房(图 2);彩色血流显示纤维条索中及周围组织血流丰富,动脉血流速度 124~473 mm/s,阻力指数 RI 0.4~0.5。(3)乳汁潴留继发感染:声像图显示扩大积乳的低回声内有微细亮点或微小斑片,探头触动质点飘动,有压痛。

2.2.2 哺乳期后 双乳病灶 78.3%(18/23),单侧 21.7%(5/23)。乳腺实质内广泛分布密集、微小点状、颗粒状强回声。扩张导管低回声,呈管状,梭形或不规则树枝状。扩张囊腔液性区内有不规则实质性杂乱中强斑块,基底不固定,形成混合性回声,边缘形态多样。外周洋葱皮样多层强回声包围,有彩色血流,为乳汁积存混合性潴留囊肿的声像图(图3)。

2.2.3 绝经期后 本组患者均为哺乳期乳汁多,突然断奶。绝经期后双乳高低不平有硬韧的结节、条索,逐年增多,误诊为肿瘤。超声图像显示乳腺质地不均匀,多条乳管呈条索状,中强回声无管壁结构,放大后见密集粗颗粒状强回声,顺序排列、堆积在狭窄的管腔内,后方无声影(图 4)。少数仍有导管不规则扩张呈长管状、梭形低回声,较大病灶导管长度大于 20 mm 内径大于 10 mm 有 4 例,占 19.1%。

2.3 不同生理阶段乳腺质地 声像图显示随哺乳期、哺乳期后及绝经期不同生理阶段的变化,间质型乳腺逐渐增多,中间型乳腺缓慢减少,导管型乳腺减少。乳管内径随之变化。

#### 3 讨论

乳汁淤积囊肿是因大、小乳管及乳头下方输入管狭窄、堵塞,乳汁潴留,局部导管扩张而形成的囊肿。哺乳期妇女多见,断奶后发生率占 86%,病程10年以上的并不罕见[2]。随着高频超声仪对微细结构分辨力的提高,乳腺导管声像图有极大的改善,能分辨 2~3 mm 乳管,取得正常乳管大小的参数,哺乳期看到乳汁的流动[10]。本研究在此基础上进行研究,发现乳腺各生理阶段乳汁淤积声像图有各自的特点。

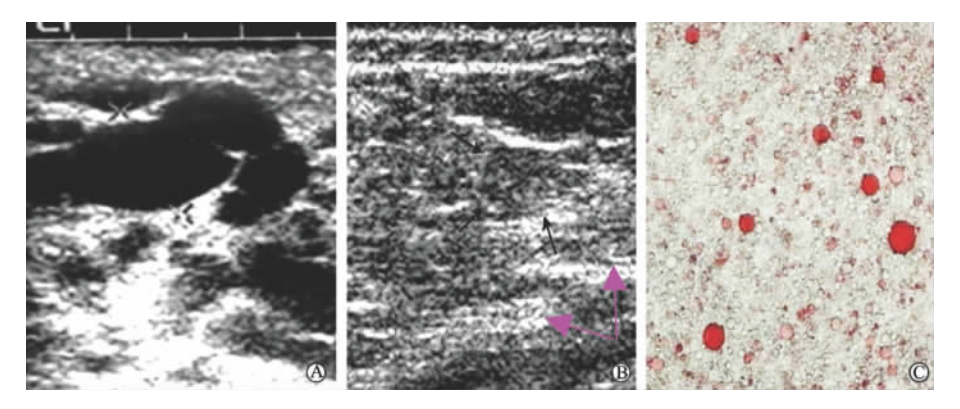


图 1 哺乳期单纯乳汁潴留囊肿声像图

Fig 1 Ulstrasound images of a galactocele during lactation peroid

A: The irregular and twisted cavity of the galactocele; B: The peripheral ducts and glands; dots of milk(arrows); C: The lipid drops of various sizes in the milk

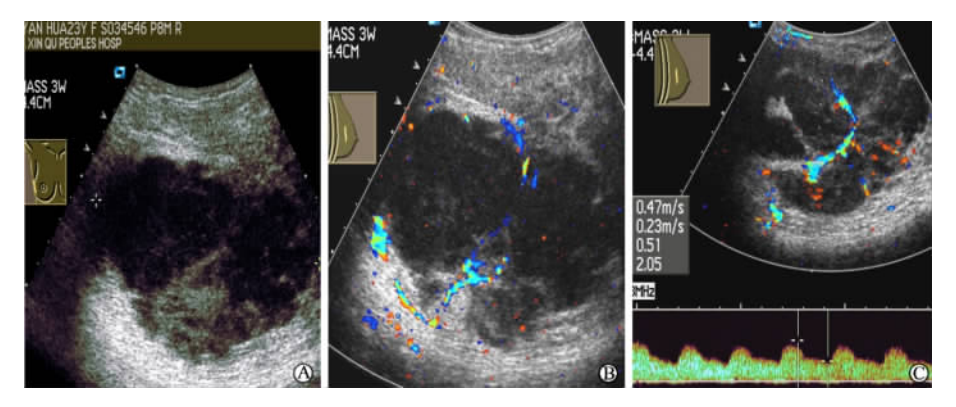


图 2 哺乳期多房性乳汁潴留囊肿声像图

Fig 2 Ultrasound images of a multi-chamber retention cyst in galatocele during lactation

A: The giant cavity in the right breast with irregular border; low-echo fluid area has heterogenous echo responses; B and C: The CDFI signals rich blood flow in both the fibrous intra-cavity septum and the peripheral tissues of the galactocele with low arterial resisteance index (RI)

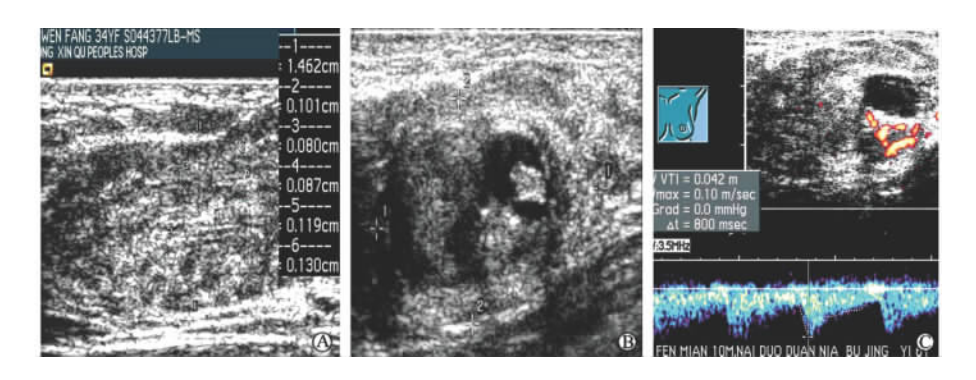


图 3 哺乳期后混合性潴留囊肿声像图

Fig 3 Ultrasound image of a delactation mix-character retention cyst

A: The mammary ducts contain extensive tiny high-echo dots of milk particles; B: The dialated galactocele cavity has a jagged border; intra-cavity fluid areas contain irregular solid patches of high-echo responses; and outer border shows onion-like multi-layered high-echo responses; C: The border of the glactocele shows colorful blood flow

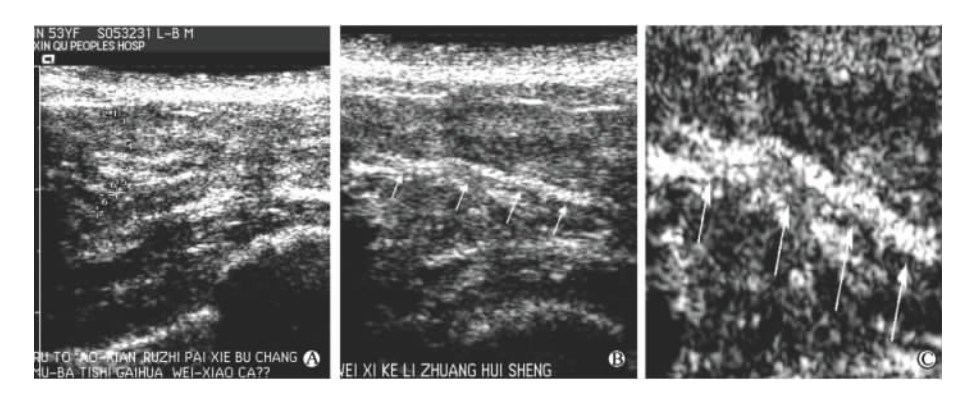


图 4 绝经期后导管内陈旧性乳汁残存声像图

Fig 4 Ultrasound images of post-menopausal intra-duct milk residue

The image of a 53-year-old female for 3 years after menopause. At 28 years old, she had an overproduction of breast milk after delivery, but a severe depression in the left nipple hampered proper secretion. In recent years, the left breast was uneven, with multiple palpable masses. Mammography revealed signs of micro-carcinoma. A: Uneven middle-high echos in the mammary gland; B: Multiple breast ducts contain thin, concentrated dot-like, particle-like high-echo responses (arrows); C: The zoomed image shows more visible particle deposits in the duct cavities. Post-operation pathology concludes hyperplasia of the epithelia in the mammary ducts and hyperplasia of the mammary gland lobules

3.1 乳汁淤积囊肿的病变特点 乳腺导管扩张是 乳汁淤积的基本病变,56 例患者均伴有不同程度的 乳管扩张[11]。乳汁淤积潴留囊肿可大可小,一般 10~20 mm, 累及单个导管为孤立性单房, 累及多个 导管成蜂窝状。正常乳管内径在间质型乳腺是  $(1.4\pm0.5)$  mm,中间型乳腺 $(1.5\pm0.5)$  mm,导管 型乳腺(2.1±0.5) mm<sup>[12]</sup>。本组患者声像图特点 为:(1)间质型乳腺导管扩大至 5.4~7.7 mm,导管 型乳腺扩大至 $(11.2\pm6.3)$  mm,与马步云等<sup>[13]</sup>研 究类似。(2)两侧乳腺发病高达 73.2%,单侧乳腺 病灶多发性占80%。(3)病灶多在乳头外侧,是厚 度最大的下垂部位,右乳8~11点占66%,左乳于 2~4点占46.8%。两侧发生率不同,可能与多数人 喜右侧卧位有关。此结果提示触诊或超声检查时应 双乳全方位寻找,以防漏掉病变。(4)仔细询问有无 排乳受阻、无定时授乳、断奶方式不当,各种乳腺、乳 头缺陷性病变病史,对正确分析声像图必不可少。 (5)以往有乳腺手术史者超声图像多较混乱。

3.2 不同生理阶段乳腺乳汁淤积囊肿的特点

3.2.1 哺乳期 乳腺质地较致密,输乳管内径小, 有乳腺结构不良或排乳障碍时乳汁浓稠流动不畅导 致乳管局部扩张,乳汁淤积中脂肪球呈浮动微细质 点。早期乳汁淤积多为单侧孤立囊肿,多个导管积 乳形成多房混合性囊肿,巨大乳汁潴留囊肿,乳汁滞 留过久压力大继发感染脓肿,出现红肿热痛。

3.2.2 哺乳期后 乳腺复旧增生的小叶小管萎陷, 积乳扩张导管的低或无回声与乳汁黏稠浓缩成无定 形的不均匀强回声同时存在,形成囊实混合性脂液 分层的潴留囊肿。与导管内乳头状瘤有相似特征,

即均有导管扩张的共同表现,乳汁淤积一旦形成肿 物,导管扩张不明显,压迫肿物无溢乳现象;导管乳 头状瘤在导管内呈均匀的等回声隆起物,压迫扩张 导管,乳头可有溢液流出。乳汁淤积患者因每次月 经前乳腺小叶腺管伸长、扩大,疏松结缔组织充血, 分泌含少量脂肪的液体;而月经期后复旧不全,逐年 累积加重积乳病变,该类患者常伴有乳腺结构不良, 声像图不易与乳腺囊性增生病相鉴别。当淤积的囊 肿周围因炎细胞浸润,小导管扩张,继发感染时,炎 性肉芽组织充血水肿纤维化,形成强弱回声相间的 多层包围,血流丰富。与浆细胞性乳腺炎的鉴别诊 断:积乳囊肿的扩张导管发生于乳晕周围的中小导 管,囊壁薄,周围有相似囊肿存在:抗生素治疗有效: 引流物以嗜中性粒细胞为主。浆细胞乳腺炎多发生 于乳晕下方的大导管,壁厚形态不规则,临床抗生素 治疗不缓解;若脓汁引流则以浆细胞浸润为主。

3.2.3 绝经期后 小叶结构大大减少或消失,乳腺萎缩,管腔变窄,乳腺导管上皮细胞变平消失或囊性扩张;间质纤维玻璃样变;偶尔可有钙化。导管内陈旧性积乳干燥成粉状,形成不均匀条索状中强回声,密集的粗点状、颗粒状无声影的强回声,而不同于伴声影的钙化灶,远场无明显衰减。超声特征性表现:乳管扩张呈相对高回声,条索状;淤积囊肿回声杂乱但边界较清晰,相似病变呈多发性,双侧对比检查好发于乳头外侧或外上象限。而乳腺纤维腺瘤包膜光发于乳头外侧或外上象限。而乳腺纤维腺瘤包膜光滑,内部回声均匀,易于鉴别;乳腺恶性肿瘤常见单发,形态不规则,边界呈分叶状或蟹足状,无完整包膜,内部回声低易伴有沙砾样钙化,远场有衰减。腋下有无类圆形淋巴结肿大也是鉴别诊断要点之一。

总之,乳汁淤积声像图复杂多变,扩大导管以低回声为主,形态不规则,积存乳汁液体吸收形成无定形絮状斑片结节的中强回声;应注意与导管内乳头状瘤鉴别;触诊坚实肿块应与乳腺良、恶性肿瘤鉴别。如不能确定应穿刺活检或手术切除。乳腺乳汁淤积声像图随乳腺生理阶段变化,与积乳时间、吸收、浓缩、干燥有关。

## [参考文献]

- [1] 李树玲. 乳腺肿瘤学[M]. 北京: 科学技术文献出版社, 2000:
- [2] 杨维良,张好刚.乳房积乳囊肿的病因、病理、诊断及治疗[J]. 临床外科杂志,2007,15:367.
- [3] Ghosh K, Morton M J, Whaley D H, Sterioff S. Infected galactocele: a perplexing problem[J]. Breast J, 2004, 10:159.
- [4] Stevens K, Burrell H C, Evans A J, Sibbering D M. The ultrasound appearances of galactocoeles [J]. Br J Radiol, 1997, 70: 239-241.
- [5] Sabate J M, Clotet M, Torrubia S, Gomez A, Guerrero R, de las Heras P, et al. Radiologic evaluation of breast disorders related to pregnancy and lactation[J]. Radiographics, 2007, 27 Suppl 1: S101-S124.

- [6] Kim M J, Kim E K, Park S Y, Jung H K, Oh K K, Seok J Y.
  Galactoceles mimicking suspicious solid masses on sonography
  [J]. J Ultrasound Med, 2006, 25:145-151.
- [7] Whang I Y, Lee J, Kim K T. Galactocele as a changing axillary lump in a pregnant woman [J]. Arch Gynecol Obstet, 2007, 276;379-382.
- [8] Shukunami K, Nishijima K, Orisaka M, Tajima K, Kotsuji F. Galactocele of the breast in a postmenopausal woman[J]. Curr Surg, 2004, 61:319.
- [9] Ibitoye B O, Adetiloye V A, Aremu A A. The appearances of benign breast diseases on ultrasound [J]. Niger J Med, 2006, 15:421-426.
- [10] 赵玉华,江 泉,李 莉,陈宁宁,姚 炜,李桂英,等.乳腺超声检查的新视角——哺乳期超声普查的价值[J].中国超声医学杂志,2001,17:174-178.
- [11] 谷振声. 实用乳腺外科病理学[M]. 北京:人民军医出版社, 1991;67-68.
- [12] 朱剑萍,赵玉华,姚 炜,姚丽华,沈美珍,陈宁宁,等.性成熟期健康处女正常乳腺超声图像——乳腺的超声图像系列研究之二[J].中国超声医学杂志,2000,16:661-664.
- [13] 马步云,罗 燕,彭玉兰,魏 兵. 乳汁淤积的超声诊断[J]. 中华超声影像学杂志,2005,14:847-849.

[本文编辑] 贾泽军

消息・

# 《军医大学学报(英文版)》(Journal of Medical Colleges of PLA)可在全文数据库 ScienceDirect 检索浏览

由第二、三、四军医大学及南方医科大学(原第一军医大学)合办的《军医大学学报(英文版)》是国内外公开发行(CN 31-1002/R,ISSN 1000-1948)的医药卫生类综合性英文期刊,是中国英文版科技论文统计源期刊,并被纳入中文科技期刊数据库、中国期刊网、万方数据库,已被美国《化学文摘》、俄罗斯《文摘杂志》、波兰《哥白尼索引》等检索系统收录。

从 2007 年开始,本刊电子版由全球著名的科技出版集团爱思唯尔(Elsevier)负责海外发行。目前,期刊全文已进入 ScienceDirect(SD)全文数据库,期刊网址 http://www.elsevier.com/locate/jmcpla。SD 是全球市场占有率最高的科技与医学期刊全文出版平台之一,其上的论文具有和其他世界主流在线科技与医学期刊的"引用文献"及"被引用文献"的链接功能。本刊进入 SD 全文数据库,不仅可增加刊发论文的可见度和被引频次、帮助作者了解所做工作被国际同行的关注程度,也有助于期刊不断提高学术质量。编辑部热忱欢迎生物医药领域的学者踊跃投稿。

投稿地址:

上海市翔殷路 800 号《第二军医大学学报》编辑部。邮编:200433。

联系人:商素芳。E-mail: jydxxb@yahoo.com.cn。电话:021-25074341-824。

重庆市沙平坝高滩岩《第三军医大学学报》编辑部。邮编:400038。

联系人:郭建秀。E-mail: gangela@mail. tmmu. com. cn。电话:023-68752189-86。

西安市长乐西路 169 号《第四军医大学学报》编辑部。邮编:710032。

联系人:吴 涛。E-mail: helenwt5241@126.com。电话:029-84773804。